

# PSIM 应用案例之

## 电动汽车无线充电系统设计与验证

文档名称:	电动汽车无线充电系统设计		
文档编号:		文档版本:	v1.0
文档类别:	详细技术资料	密 级:	公开



二零二叁年陆月

未经许可 请勿复制全部或者部分文档  
©新驱科技 版权所有

## 目 录

1. 案例介绍.....	1
2. 系统规格要求.....	1
3. 设计步骤.....	1
3.1. 启动 PSIM 设计套件模板 .....	2
3.2. 录入输入和输出要求 .....	3
3.2.1. 计算谐振参数 .....	4
3.2.2. 计算所需直流增益 ( $G_{DC}$ ) .....	4
3.3. 使用设计曲线工具扫描参数.....	4
3.4. 选择 $Q_{RATED}$ 和 $K_{IND}$ 的最终设计值 .....	7
3.5. 计算谐振参数和耦合电感参数.....	8
3.6. 在仿真中验证设计 .....	9
4. 结论.....	13
5. 案例获取.....	13

## 1. 案例介绍

无线电力传输（WPT）系统在电动汽车、消费电子、生物医学工程、无线电力技术等许多应用中因非接触式能量转换而备受关注。基于谐振转换器的无线电力传输系统包括了谐振转换器的所有优点，例如在宽负载/线路范围内的软开关特性、高峰值效率、高功率密度、低 EMI 覆盖区域以及诸如非接触式电力传输之类的附加优点等。

然而，基于谐振的 WPT 转换器系统的优化设计是一项不平凡且艰巨的任务，因为转换器是高度非线性的，具有高阶谐振回路，并且设计过程涉及多次迭代。

PSIM 中的电源设计套件提供了谐振转换器的预建模板，用于分析和优化谐振回路的精度。谐振转换器模板可以很容易地修改为谐振 WPT 转换器模板。这些模板还包含两个界面友好的设计工具，用于优化设计，提高稳健性。

本文描述了如何使用全桥谐振 CLLLC 模板为 6.6-kW 电动汽车车载充电器设计串联补偿谐振 WPT 转换器系统的过程。

## 2. 系统规格要求

谐振 WPT 转换器通常用作电动汽车车载充电器（OBC）的隔离 dc-dc 级。

6.6-kW OBC 的谐振转换器具有以下规格：

$V_{in\_rated} = 400V$ ;  $V_{in\_min} = 390V$ ;  $V_{in\_max} = 410V$

$V_{o\_rated} = 420V$ ;  $V_{o\_min} = 300V$ ;  $V_{o\_max} = 450V$

$P_{o\_rated} = 6.6kW$

$f_{res} = 200\text{ kHz}$

## 3. 设计步骤

使用电源设计套件设计谐振 WPT 系统需要几个步骤：

- 在“输入参数”面板中定义输入和输出要求以及工作条件。
- 使用设计曲线工具执行设计迭代和设计比较。
- 使用稳态解算器工具分析和验证转换器的零电压开关（ZVS）和零电流开关（ZCS）工作过程，稳态波形，计算结果输出，边界条件和转换器的极端工况条件。
- 更新参数文件并运行时域仿真以验证设计。

下面介绍每个步骤的详细信息。

### 3.1. 启动 PSIM 设计套件模板

在 PSIM 中，点击菜单设计套件>>电源设计套件，然后选择全桥谐振 CLLLC。解压缩文件后，将显示一个模板电路，如下所示：

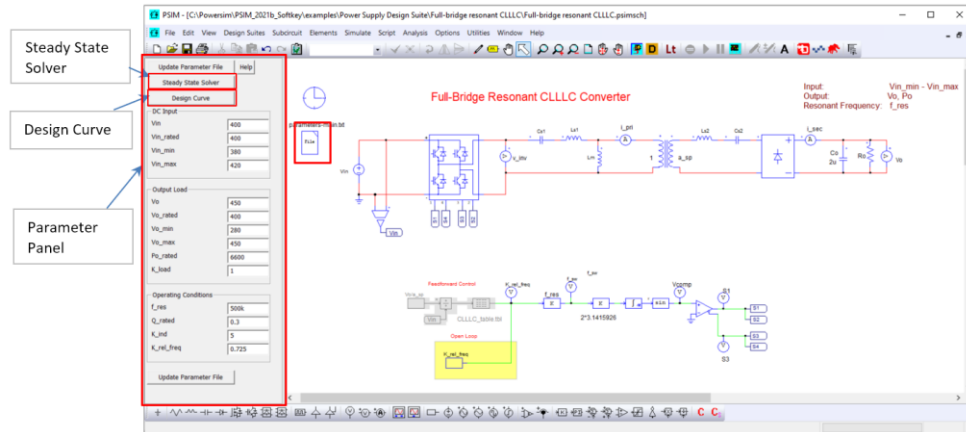


图 1、设计套件自带的谐振 CLLLC 初始模板

在图 1 中，原理图窗口左侧的参数面板允许用户输入设计规范，启动稳态解算器工具和设计曲线工具。电路左侧的参数文件存储 CLLLC 电路的计算参数值。

在谐振转换器中，基于 CLLLC 模板中的额定品质因数 ( $Q_{rated}$ )、电感因数 ( $K_{ind}$ ) 和谐振频率 ( $f_{res}$ ) 来计算谐振元件。

在无线电力传输系统中，变压器匝数比  $a_{sp}$  通常为 1。据此：

$$Cs1 = Cs2$$

$$Ls1 = Ls2$$

在电路中， $L_m$  是磁化电感， $Ls1$  和  $Ls2$  是串联电感。串联电感  $Ls1$  和  $Ls2$  可以是变压器的漏电感。然而，如果计算值高于漏电感，则需要外部电感器。

变压器可以用耦合电感器代替，自感和互感定义如下：

$$L11 = Ls1 + Lm$$

$$L22 = Ls2 + Lm$$

$$L12 = L21 = Lm$$

电路可以修改如下：

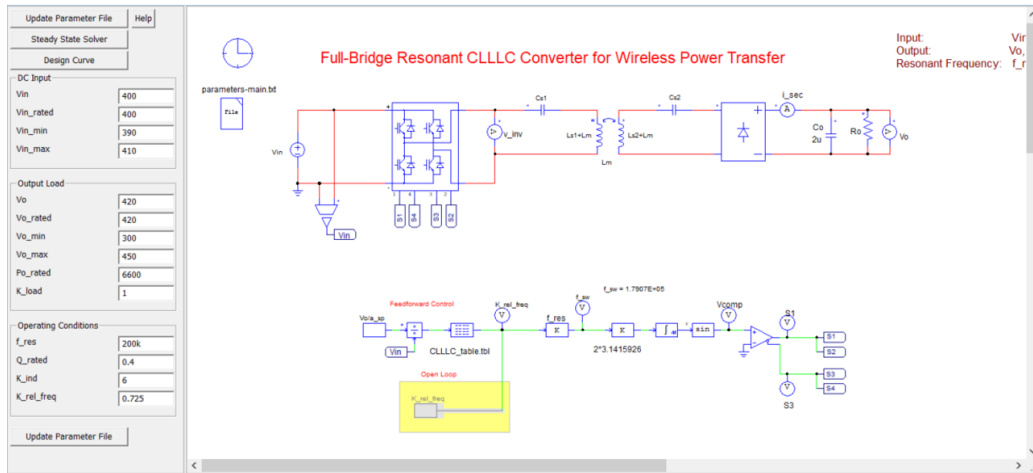


图 2、用于无线功率传输的改进谐振 CLLLC 模板

### 3.2. 录入输入和输出要求

录入输入和输出要求，并定义  $f_{res}$ 、 $Q_{rated}$ （通常 0.5）和  $K_{ind}$ （通常 5）的初始设计值。对于本例，请输入以下值：

输入指标：

$V_{in}$  (operating input voltage) 400

$V_{in\_rated}$  (rated input voltage) 400

$V_{in\_min}$  (minimum input voltage) 390

$V_{in\_max}$  (maximum input voltage) 410

输出指标：

$V_o$  (operating output voltage) 420

$V_{o\_rated}$  (rated output voltage) 420

$V_{o\_min}$  (minimum output voltage) 300

$V_{o\_max}$  (maximum output voltage) 450

$P_{o\_rated}$  (rated output power) 6600

$K_{load}$  (load factor) 1

运行条件：

$f_{res}$  (resonant frequency) = 200k

$Q_{rated}$  (rated quality factor) = 0.5

$K_{ind}$  (parallel-to-series inductance ratio  $L_m/L_s$ ) = 5

$K_{rel\_freq}$  (relative frequency factor) = 0.75

然后单击左侧面板中的“更新参数文件”，查看参数文件、稳态解算器工具和设计曲线工具中的所有参数，以验证输入和输出规范的准确性。

### 3.2.1. 计算谐振参数

对于谐振变换器系统，基于选择的  $Q_{\text{rated}}$ 、 $K_{\text{ind}}$  和  $f_{\text{res}}$ ，谐振元件计算如下：

$$a_{\text{sp}} = 1$$

$$L_{s1} = (Q_{\text{rated}} \cdot R_{o_{\text{rated\_pri}}}) / (2 \cdot \pi \cdot f_{\text{res}})$$

$$C_{s1} = 1 / (2 \cdot \pi \cdot f_{\text{res}} \cdot Q_{\text{rated}} \cdot R_{o_{\text{rated\_pri}}})$$

$$L_m = K_{\text{ind}} \cdot L_s$$

$$L_{s2} = L_{s1}$$

$$C_{s2} = C_{s1}$$

应该注意的是，谐振 CLLLC 模板具有五阶对称谐振回路，该谐振回路具有五个谐振元件： $C_{s1}$ 、 $L_{s1}$ 、 $L_{s2}$ 、 $C_{s2}$  和  $L_m$ 。在  $a_{\text{sp}}=1$  的情况下，电感  $L_{s2}$  和电容  $C_{s2}$  与电感  $L_{s1}$  和电容  $C_{s1}$  相同。

### 3.2.2. 计算所需直流增益 ( $G_{\text{DC}}$ )

直流增益所需的最小值和最大值计算如下：

$$G_{\text{dc\_min}} = V_{o_{\text{min}}} / (V_{i_{\text{max}}} \cdot 1) = 0.73$$

$$G_{\text{dc\_max}} = V_{o_{\text{max}}} / (V_{i_{\text{min}}} \cdot 1) = 1.15$$

我们将会在 0.7 至 1.2 的直流增益范围内找到谐振元件的优化值，以补偿实际原型/电路中的小寄生参数。

## 3.3. 使用设计曲线工具扫描参数

设计曲线工具提供了扫描  $Q_{\text{rated}}$  和  $K_{\text{ind}}$  以确定最佳设计的功能。对于此示例，输入的  $Q_{\text{rated}}$  值范围在 0.2 到 0.5 之间， $K_{\text{ind}}$  值范围在 4 到 10 之间。确保设置  $a_{\text{sp}}=1$ 。

将使用该工具自动生成两组设计曲线和一个带有输出参数的 Excel 文件。在工具的左侧界面中,可以选择修改输入规范中  $Q_{rated}$  和  $K_{ind}$  的范围。一个面板显示具有固定  $Q_{rated}$  的不同  $K_{ind}$  值的曲线, 另一个面板则显示具有固定  $K_{ind}$  的不同  $Q_{rate}$  值的曲线。

单击计算  $G_{dc}$  以显示相对于相对频率因子 ( $K_{rel\_freq}$ ) 的直流增益曲线 (如图 2 所示), 从而找到所需直流增益的相对频率范围。同时, 自动生成显示不同  $Q_{rated}$  和  $K_{ind}$  结果的 Excel 文件, 如下所示:

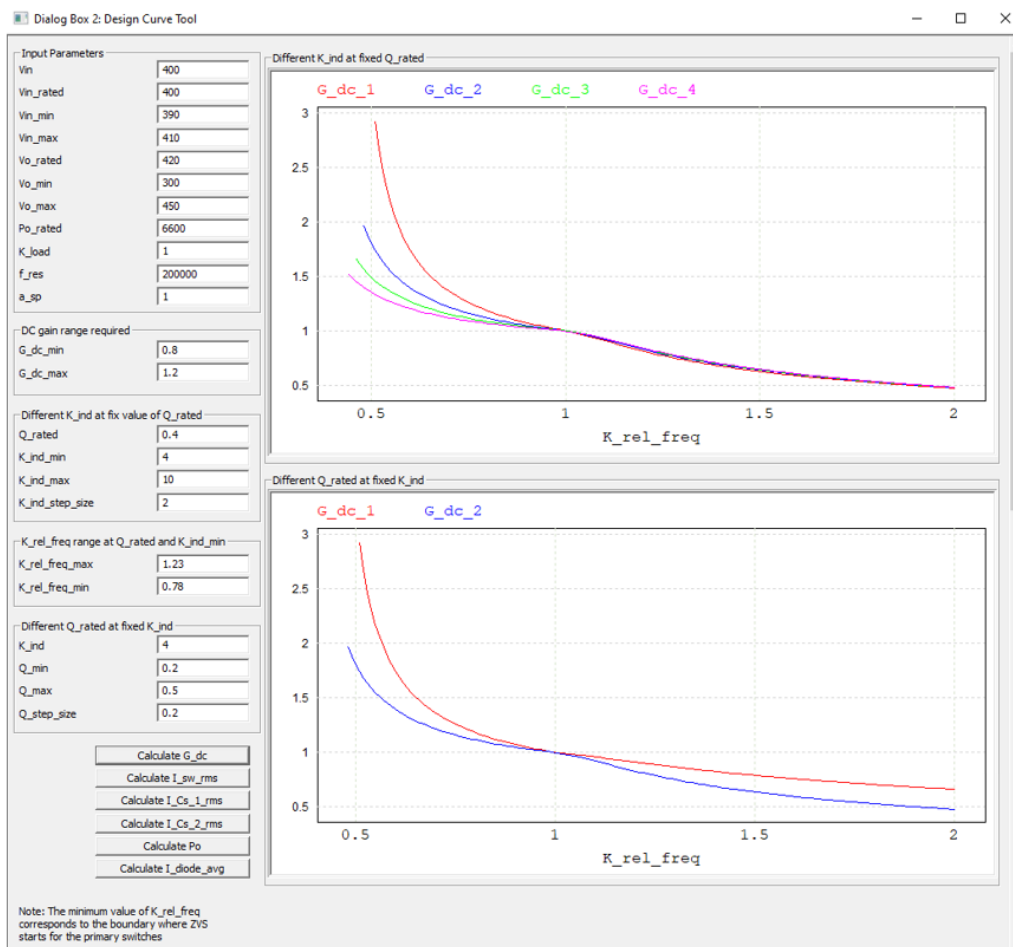


图 3、顶部面板  $Q_{rated}=0.4$ ,  $K_{ind}=4$  到 10, 底部面板  $K_{ind}=4$ ,  $Q_{rated}=0.2$  到 0.4 的曲线

在图 3 中, 产生的直流增益曲线是随着相对频率的变化而变化的, 从初级开关的 ZVS 开始 (低于谐振的滞后模式) 到高于谐振频率。由于实际的设计原因, 上述谐振相对频率在这里被限制在 2。

使用图 3, 可以直接得出结论,  $K_{ind}=4$  (或最低电感因数) 将在低于和高于谐振工作时提供最窄的频率变化, 以满足增益要求。 $Q_{rated}$  的最低值将需要以下谐振区域中的最低频率变化。但也可以得出结论,  $Q_{rated}$  的最高值将确保上述谐振区域中频率的最低变化。在选择  $Q_{rated}$  的值时, 显然存在一种权衡。

在图 4 中,详细的输出计算是在每组  $Q_{rated}$  和  $K_{ind}$  的最小和最大开关频率下生成的。

A	B	C	D	E
$Q_{rated}$	$K_{ind}$	$G_{dc}$	$K_{rel\_freq}$	$f_{sw}$
0.4	4	0.803601	1.21	242000
0.4	4	1.209038	0.78	156000
0.4	6	0.802547	1.23	246000
0.4	6	1.203003	0.71	142000
0.4	8	0.802376	1.24	248000
0.4	8	1.202272	0.65	130000
0.4	10	0.807123	1.24	248000
0.4	10	1.201698	0.6	120000
0.2	4	0.800712	1.51	302000
0.2	6	0.802547	1.23	246000

图 4、生成的 Resonant\_Parameter\_Optimization excel 文件的示例, 其中  $Q_{rated}=0.4$ ,  $K_{ind}=4$  到 10,  $K_{ind}=4$ ,  $Q_{rated}=0.2$  到 0.4。

上面突出显示的部分显示了在  $Q_{rated}=0.4$  时, 对于每个输入的  $K_{ind}$  (从 4 到 10), 相对频率因子 ( $K_{rel\_freq}$ ) 从最大到最小的变化。底部突出显示的部分显示了在  $K_{ind}=4$  时针对每个输入的  $Q_{rated}$  (从 0.2 到 0.4),  $K_{rel\_freq}$  的变化情况。

注: 谐振变换器设计优化过程中的关键思想是找到  $Q_{rated}$  和  $K_{ind}$  的最佳值, 以提供工作频率的窄变化范围。窄的频率范围对于磁性器件的设计、控制器的选择和部件尺寸的确定都很重要。

Excel 文件中关于所需频率范围的一些分析结果如下:

- 在  $K_{ind}=4$  和  $Q_{rated}=0.4$  时, 针对所需直流增益, 所需相对频率范围为 0.78 至 1.21
- 在  $K_{ind}=6$  和  $Q_{rated}=0.4$  时, 针对所需直流增益, 所需相对频率范围为 0.71 至 1.23

对于其他  $K_{ind}$  (4 到 10) 和  $Q_{rated}$  (0.2 到 0.4) 值也可以进行类似的分析。





### 3.5. 计算谐振参数和耦合电感参数

在参数面板中输入选定的参数  $Q_{rated}=0.4$  和  $K_{ind}=6$ ，然后单击“更新参数文件”。这将更新参数文件“parameters main.txt”。双击打开参数文件，并手动设置  $a_{sp}=1$ （请参见下图中的第 49 行）。然后选择“编辑>>显示值”以显示所有参数的值，如下所示：

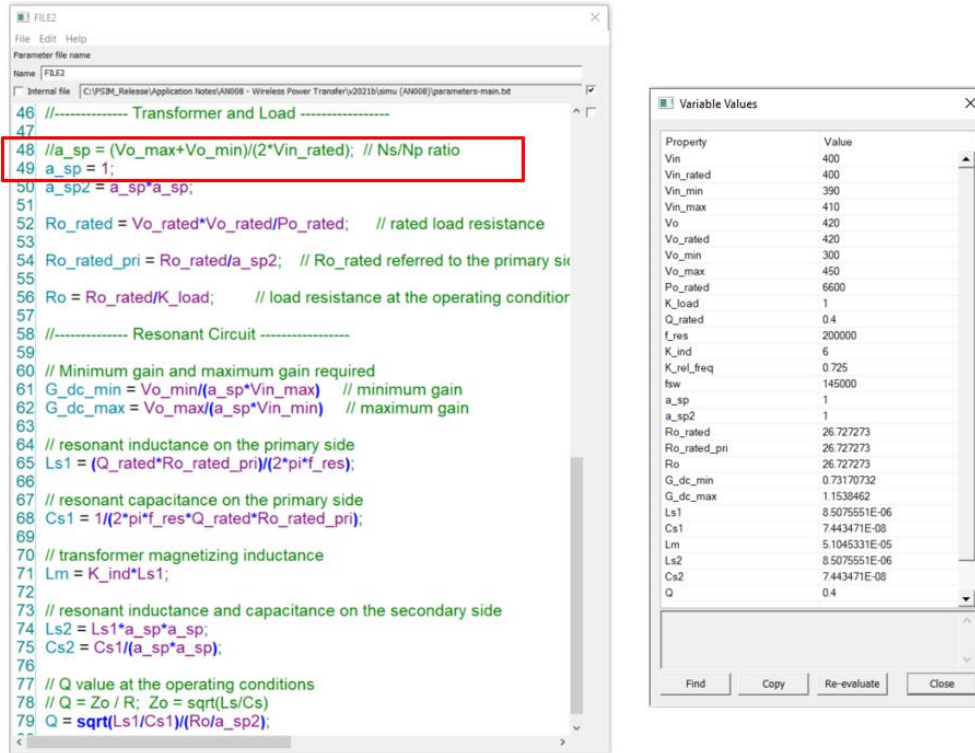


图 6、修改参数文件并计算值

这一步骤是必要的，因为默认情况下，变压器比  $a_{sp}$  是基于输入和输出电压计算的，并且可能不是 1。此外，每次单击“更新参数文件”按钮时都需要进行此更改，因为它将覆盖整个文件。

从参数文件中，基于选定的  $Q_{rated}$  和  $K_{ind}$ ， $L_s$ 、 $C_s$  和  $L_m$  的设计值如下所示。

谐振参数值为：

$$Ls1 = Ls2 = (Q_{rated} \cdot Ro_{rated\_pri}) / (2 \cdot \pi \cdot f_{res}) = 8.50e-06 \text{ H}$$

$$Cs1 = Cs2 = 1 / (2 \cdot \pi \cdot f_{res} \cdot Q_{rated} \cdot Ro_{rated\_pri}) = 7.44e-08 \text{ F}$$

$$Lm = K_{ind} \cdot Ls1 = 5.10e-05 \text{ H}$$

耦合电感值为：

$$L_{11} = L_{s1} + L_m = 5.95e-05 \text{ H}$$

$$L_{22} = L_{s2} + L_m = 5.95e-05 \text{ H}$$

$$L_{12} = L_m = 5.10e-05 \text{ H}$$

### 3.6. 在仿真中验证设计

用选定的值仿真谐振电源电路。开关或操作频率的所需值可以从设计工具中获得，以调节变化的输出电压。

可以引入包括相关的寄生、死区时间、MOSFET 电容等来完成仿真。工具计算的频率将提供足够精确的结果，以便为非理想或有损系统提供适当的负载和线路调节。

图 7 显示了在  $K_{rel\_freq}=0.89$ （178kHz）（低于谐振模式）时额定输出电压（420V）和额定输入电压（400V）下的仿真结果。

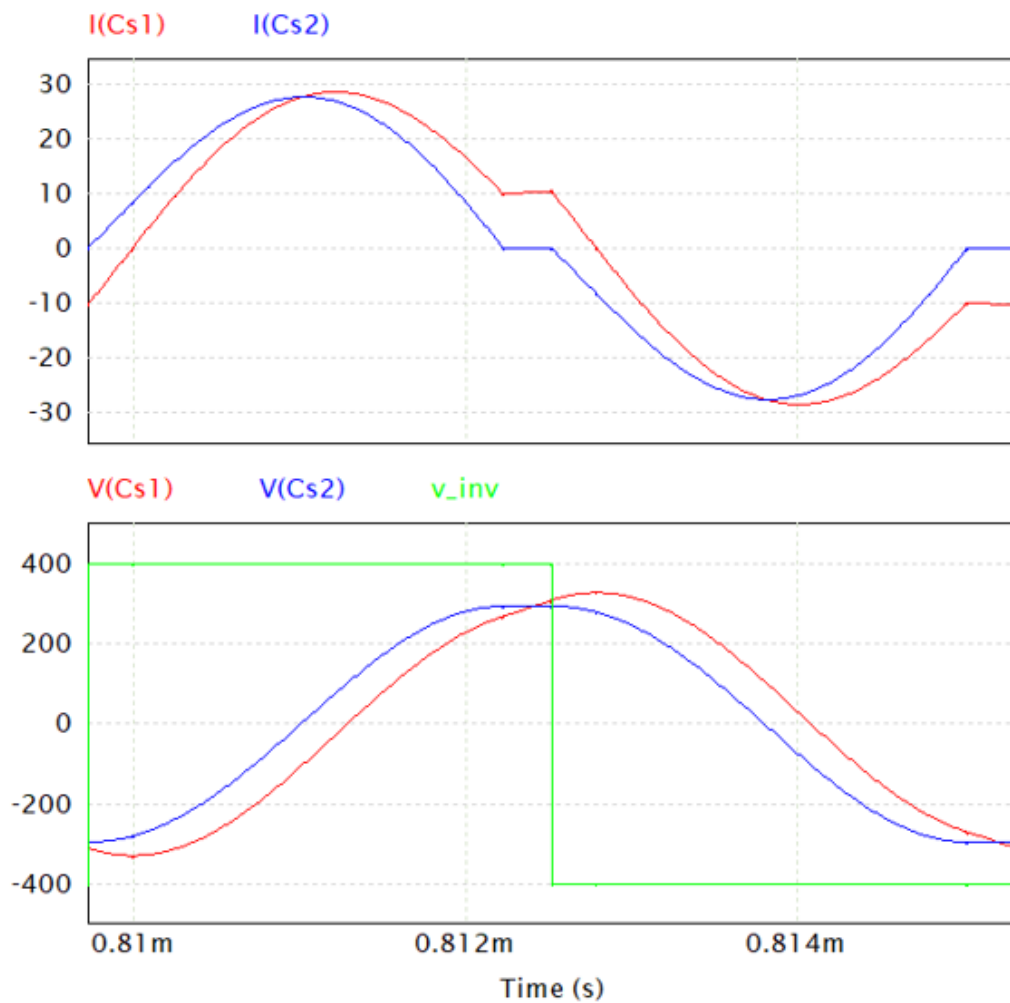


图 7、额定输出电压（420V）和额定输入电压（400V）下  $K_{rel\_freq}=0.89@178kHz$ （低于谐振模式）的仿真结果

图 8 显示了在相同操作条件下但来自稳态工具的相同波形。波形相同，验证了稳态解算器。

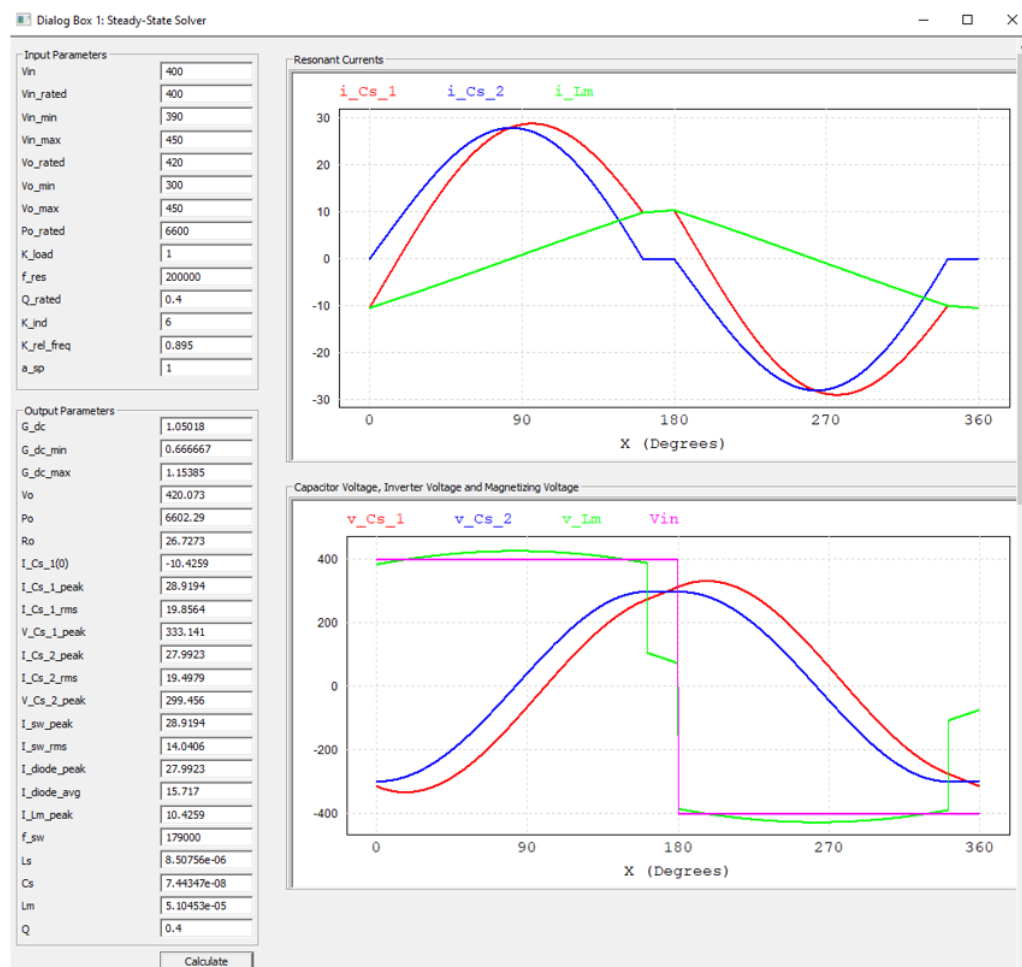


图 8、额定输出电压（420V）和额定输入电压（400V）下  $K_{rel\_freq}=0.89@178kHz$ （低于谐振模式）下稳态工具的波形。

图 9 显示了  $K_{rel\_freq}=1.26$ （252kHz）（高于谐振模式）时，最小输出电压（300V）和额定输入电压（400V）下的仿真结果。

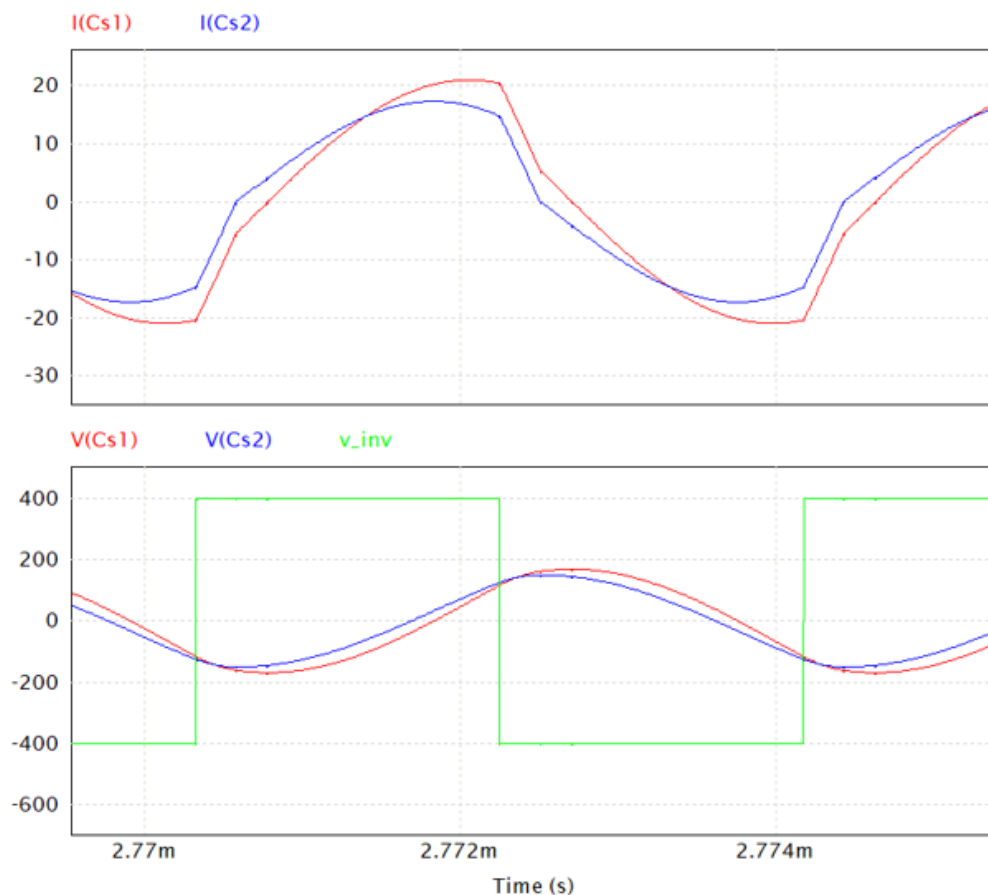


图 9、在  $K_{rel\_freq}=1.26@252kHz$ （高于谐振模式）下，最小输出电压（300V）和额定输入电压（400V）下的仿真结果

如上所示，在额定输出要求下， $Q_{rated}$  为 0.4， $K_{ind}$  为 6，所需  $G_{dc}=0.7673$ 。当输出电压从额定 420V 降至 300V 时，该工作模式下的  $Q$  值为 0.56，以验证最坏情况下的设计。

注：车载充电器应用有两种操作模式：恒流充电（CC）和恒压充电（CV）。上述设计选择适用于 CV 模式。请注意，负载电阻（ $R_o$ ）、负载系数（ $K_{load}$ ）和工作时的  $Q$  值将在 CC 模式下发生变化。例如，在输出电压为 300V 的 CC 模式下， $Q$  将从 0.4 增加到 0.56。类似地， $K_{load}$  将从额定值 1 增加到 1.4。对于用户来说，仔细检查所选的设计参数对于 CC 模式是否仍然有效是很重要的。

通过使用稳态解算器或设计曲线工具，可以得到 CC 模式下工作时的详细结果。

在额定输入电压（400V）的 CC 模式下的一些结果如下表 1 所示：

Vo (V)	K_rel_freq (required)	G_dc	I_sw_rms (A)	I_sw_peak (A)	I_diode_peak (A)	Q	Ro (Ohm)
420	0.89	1.12	13.74	28.57	27.68	0.40	26.72
300	1.26	0.77	8.66	23.56	27.05	0.56	19.09

图表 1、在可变输出电压（CC 模式）下对应不同工作频率的结果

这里应该注意的是，用于初级开关的 ZVS 和用于次级二极管的 ZCS 在所有条件下都保持不变。

## 4. 结论

有了电源设计套件，针对车载充电器电动汽车应用，设计谐振无线充电系统的过程变得相当容易，稳态工具和设计曲线工具为快速设计迭代和优化提供了必要的信息，并确保转换器在整个输入/输出电压范围内以软开关方式运行。并且最后的设计很容易在 PSIM 的时域仿真中得到验证。

## 5. 案例获取

如果您需要了解本案例更多信息，可以联系我们索取仿真报告或者现场讲解，联系方式如下：

邮箱：infor@innodrivetech.com

网址：http://www.innodrivetech.com

官方微信公众号：Power\_Simulation

更多资讯，敬请扫码进入：

